

النينو - اللانينا - وتأثيراتهما في تباين المناخ العالمي

الدكتور جهاد الشاعر*

الملخص

الانيسو ظاهرة طبيعية، وهي أشد تذبذب مناخي طبيعي يظهر على مدى السنوات. يطلق تعبير النينو على التيار المحيطي الاستوائي الشمالي المرتد أو المعاكس الذي يدفع بمياه دافئة نحو الجنوب تحاذي سواحل دولتي البيرو والاكوادور حوالي عيد الميلاد. يشتد زخم هذا التيار في بعض السنوات ويدفع كميات ضخمة غير اعتيادية من المياه الدافئة يتجاوز تأثيرها أواسط المحيط الهادي ويبلغ خط التآريخ الدولي. يتمثل المركب الجوي المرتبط بهذه الظاهرة بالذبذبة الجنوبية "SO" لذا يطلق العلماء عليها، حيث يتشارك الجو والمحيط معاً "الانيسو".

نادراً ما تبقى الظروف الجوية والمحيطية في المحيط الهادي المداري نظامية، وبدلاً من ذلك تتقلب تقلباً غير دوري بين حوادث النينو والحالة المعاكسة "اللانينا" التي تعني تبريداً زائداً للمياه المحيطية في وسط المحيط الهادي المداري وشرقه. تظهر حادثة الأينسو كل (3-6) سنوات وتستمر لمدة سنة أو أكثر.

في أثناء حادثة النينو، تنزاح المياه الدافئة الموجودة أصلاً في غرب المحيط الهادي المداري نحو أواسط المحيط وشرقه عندما تضعف الرياح التجارية الشرقية، جارفة معها أنماط العواصف المطرية المدارية. ينخفض مستوى سطح البحر في الغرب، لكنه يرتفع في الشرق حوالي (25) سم بفعل انقلاب الرياح التجارية، التي

*قسم الجغرافية - كلية الآداب والعلوم الإنسانية - جامعة دمشق

تدفع الميابه الدافئة شرقاً على طول خط الاستواء. وعلى كل حال إن التبدل الذي يصيب حركة الجو العامة لا يقتصر على العروض المدارية لكنه يمتد بعيداً نحو العروض العليا من خلال ما يعرف بظاهرة الترابط عن بعد، ويؤثر في مسارات التيارات النفاثة والعواصف في العروض المعتدلة. وبشكل تقريبي تنعكس هذه الأحوال عند سيادة حادثة اللانينا.

إنّ التغيرات التي تصاحب حادثة النيونو تنتج تباينات كبيرة في الطقس والمناخ الإقليمي من سنة إلى أخرى. غالباً ما يكون لهذه التباينات تأثيرات حادة بشرية واجتماعية بسبب ما يصاحبها من حوادث المحلل (انحباس المطس)، والفيضانات، وموجات الحر وغيرها من التغيرات التي يمكن أن تدمر المزروعات ومصائد الأسماك والبيئة والصحة ومصادر الطاقة ونوعية الهواء، كما تسبب الحرائق وانتشار الأوبئة.

1- المدخل:

تشكل المسياه الباردة قبالة السواحل المدارية الغربية لأمريكا الجنوبية ما يعرف باللسان الاستوائي البارد لشرق المحيط الهادي Equatorial Cold <<ECT>> Tongue. يشكل تيار البيرو البارد للعروض العليا الجنوبية الذي يدفع بلسان منه نحو الشمال بعيداً عن السواحل المدارية المصدر الأول لهذه المياه (Latif and Neelin, 1995; Dilley and Heyman, 1994) بينما تمثل الحركة الرأسية الصاعدة للمياه المحيطية (vertical up-Willing) على الطرف الشرقي للمحيط الهادي نحو مدار الجدي المصدر الثاني (Wallen, 1992 و Critchfield, 1983).

تسهم المياه المحيطية الباردة بتبريد الهواء فوقها، مكونة أنظمة من الضغوط الجوية المرتفعة، ويصاحب ذلك من حالة استقرار جوي، وهذا بدوره يؤدي إلى الجفاف، إذ يقل معدل الأمطار السنوية هنا عن (40) ملم. كما يتشكل تبعاً لذلك الضباب الدائم الذي يحد من وصول الأشعة الشمسية المباشرة، وينقص من شدة الإضاءة مما يسمح بزيادة الأوكسجين المحلول في المياه السطحية، وخلق بيئة بحرية زاخرة بكم هائل من المغذيات التي تقف عليها البلانكتونات، الغذاء الرئيس لأسماك الأنشوفة Anchovy والسردين Sardine. تمثل هذه الأسماك ثروة ضخمة لدول تشيلي والبيرو والإكوادور، وتكون صادراتها نسبة مرتفعة من الدخل الوطني لهذه الدول. كما يتغذى عليها أسراب ضخمة من طيور الجوانو Guano birds المتمثلة بطيور البجع Pelicans والغاق Cormorants التي تضع زرقها (روثها Droppings) على الجزر الصخرية. عُرِفَت هذه المخلفات العضوية في بدء القرن التاسع عشر مادة لها قيمة تسميدية عالية للمزروعات، كما استخرجت هذه المخلفات العضوية واستثمرت في بداية القرن العشرين عندما أحدثت لبيرو شركة الجوانو الحكومية لمراقبة فعاليات استخراج السماد العضوي وحماية مستعمرات الطيور من الضواري والمفترسات (Glantz, 1997).

تدفع الرياح الغربية الاستوائية المياه السطحية من بركة المياه الدافئة أمامها من غرب المحيط الهادي الاستوائي نحو شرقه من خلال التيار الاستوائي الشمالي المعاكس " NECC " لتصل السواحل الشرقية في عيد الميلاد (بدء السنة الميلادية) لكن تأثيراتها محدودة في الأحوال العادية في التأثير في درجة حرارة المياه السطحية الباردة في شرق المحيط. يشتد زخم هذا التيار، اشتداداً غير اعتيادي في بعض السنوات وتكون قوته فوق المعتاد (Lichfield, 1997) ويصاحب ذلك اندفاع كميات ضخمة من المياه الدافئة المتجهة شرقاً وجنوباً لتصل إلى شواطئ البيرو والاكوادور متوضعة فوق المياه الباردة. تؤثر المياه الدافئة في حياة الأسماك بسبب قلة المغذيات فيها، فيصيب الضعف والوهن طيور الجوانو التي تبحث عن الأسماك التي هجرت بيئتها الجديدة، وتسقط ميتة، وقد لفت موت الطيور التي تقذفها الأمواج على الشواطئ نظر السكان في هذه المناطق، حول ترقب حدوث ظاهرة غير اعتيادية على طول المحيط الهادي الاستوائي وما سوف تسببه من كوارث طبيعية مدمرة في شكل هطولات غزيرة وفيضانات عارمة، وما يتبع ذلك من تخريب مريع للأراضي والتربة. وقد شجعت هذه الظاهرة علماء البيئة على متابعة الكتابة عنها والبحث عن تفسيرات علمية لها... إنها حادثة النينو El Nino Event ..

2- هدف الدراسة:

تهدف هذه الدراسة إلى التعريف بظاهرة النينو وأوقات حدوثها وديمومتها، ومعدل تكرارها، فضلاً عن مناقشة أسبابها، وإمكانية التنبؤ بها مستقبلاً، كذلك رصد تأثيراتها الإقليمية والعالمية باعتبارها أفضل مثال عن التقلبات أو التذبذبات التي تصيب حركة الجو العامة، والحركة العامة للمياه المحيطية، والتي تعد بدورها المسبب الرئيسي للتغيرات التي تطرأ على عناصر المناخ المختلفة على نطاق إقليمي، وعالمي. كذلك لأنها أحد المفاتيح المهمة لفهم تباين المناخ على مستوى العالم.

3- تعاريف:

النينو: مصطلح يستخدم لوصف ظاهرة محيطية تتمثل بالتسخن الشديد غير الاعتيادي للمياه السطحية في شرق المحيط الهادي المداري لمدة ثلاثة فصول أو أكثر (WMO-No.8, Feb, 1999) تصل هذه الظاهرة شدتها القصوى في نهاية كانون الأول، أي حوالي عيد ميلاد السيد المسيح، لذلك أطلق عليها صيادو الأسماك الإسبان طفل المسيح Child of Jesus (Hidore and Oliver, 1993; Lichfield, 1997).

اللاينينا La Nina: مصطلح يستخدم لوصف ظاهرة محيطية تتمثل بالتبريد الشديد غير الاعتيادي للمياه السطحية في شرق المحيط الهادي المداري، بذلك فهي تمثل الحالة المعاكسة لحادثة النينو. فإذا كان "النينو" يعني بالاسبانية "طفل" فاللاينينا تعني "طفلة" أو فتاة (Hidore and Oliver, 1993).

الإينسو "ENSO": تترافق حادثة النينو مع ظاهرة جوية يطلق عليها اسم ((الذبذبة الجنوبية Southern Oscillation)) والتي يرمز إليها بـSO. تتميز هذه الظاهرة بتأرجح قيم الضغط الجوي السطحي بين أقاليم وسط وغرب المحيط الهادي، وبما أن هاتين الظاهرتين مترابطتان لذلك يتم دمجهما تحت اسم ((النينو-الذبذبة الجنوبية)) واختصاراً الإينسو ((ENSO)) الإينسو؛ وعادة ما يشار إلى ظاهرة الأينسو بتعبير النينو (Glanzer, 1997). تمثل حادتنا النينو واللاينينا وجهين مختلفين لظاهرة الإينسو.

4- حركة الجو العامة والحركة العامة للمياه المحيطية: المحيط

الهادي المداري

1-4 دورة ونكر الحرارية:

تهب الرياح التجارية فوق المحيط الهادي المداري من مراكز الضغوط الجوية المرتفعة شبه المدارية نحو خط الاستواء على هيئة رياح تجارية جنوبية شرقية

وشمالية شرقية، وعلى خط الاستواء تتساق هذه الرياح إلى جهة الغرب. كذلك هناك حركة ريحية عكسية من الغرب إلى جهة الشرق في التروبوسفير. يدعى هذا النظام الريحي بدورة ولكر Walker circulation .

يتكون مفهوم هذه الدورة من خليتين حراريتين حركيتين فوق المحيطين الهادي والهندي الاستوائيين. يؤدي تراكم المياه الدافئة، والتي تزيد درجة حرارتها على 27°م في شرق المحيط الهندي وغرب المحيط الهادي بسبب الرياح الشرقية في المحيط الهادي والرياح الغربية في المحيط الهندي الاستوائي إلى تسخن الهواء وارتفاعه عالياً ثم بعد هبوطه فوق المياه الباردة في موقعين محيطيين، الأول في غرب المحيط الهندي، والثاني في شرق المحيط الهادي (شكل 1) إذ يمثل ذلك الوضع الطبيعي للرياح في الحالات الاعتيادية (Chen,1989;Das1986) وكما يلاحظ من هذا الشكل، فإن دورة ولكر فرعين، أحدهما هابط فوق المياه الباردة في شرق المحيط الهادي، حيث يوجد الضغط الجوي السطحي المرتفع، والآخر صاعد فوق المياه السطحية المحيطية الدافئة في غرب المحيط الهادي، حيث يوجد الضغط الجوي المنخفض. تبعاً لتوزيع مراكز الضغط الجوي تهب الرياح السطحية الشرقية في دورة ولكر من شرق المحيط الهادي (ضغط مرتفع) إلى غرب المحيط (ضغط منخفض). تعتمد سرعة الرياح على غراديان الضغط الجوي، وفي الجو الأعلى هناك رياح تعويضية غربية.

2-4 الغريبات الاستوائية:

تعد الغريبات الاستوائية بمنزلة حزام نطاقي قوامه رياح سطحية غربية مواكبة لخط الاستواء فيما بين نطاقي الرياح التجارية لنصفي الكرة الأرضية. يشتد زخم الرياح الغربية في غرب المحيط الهادي، وتبدو أنها جزء من حركة الجو العامة (Stringer,1989). حيث يتكون نطاق الغريبات الاستوائية بشكل دائم حول خط الاستواء فوق إفريقيا والمحيط الهندي، واندونيسيا، وشمال استراليا، كما تمتد في

بعض الأوقات فوق غرب المحيط الهادي، ومن الخرائط التي وضعها فلوهن يلاحظ امتداد الغربيات الاستوائية فوق سواحل كولومبيا، وفوق المواقع الاستوائية لأمريكا الجنوبية (Tarakanov, 1980).

3-4 الحركة العامة للمياه المحيطة في المحيط الهادي:

تدفع الأنظمة الريحية السائدة فوق المحيط الهادي المياه السطحية أمامها، ويدفع الاحتكاك بين الرياح وسطح الماء القوة الدافعة الأولية (Wallen, 1992). تسهم الرياح التجارية السائدة في العروض المدارية بتشكيل تيارات مائية دافئة في المحيط الهادي المداري توافق اتجاهها مع الجهة التي تهب إليها هذه الرياح، أي نحو الغرب، حيث يطفو التيار الاستوائي الشمالي الدافئ NEC والتيار الاستوائي الجنوبي الدافئ SEC. بينما يتكون شمال خط الاستواء التيار الاستوائي الشمالي المعاكس NECC، وهو تيار تعويضي يتشكل بفعل الغربيات الاستوائية، ويدفع بمياه دافئة إلى جهة شرق المحيط الهادي الاستوائي، كما تصل مياهه الدافئة شمال خط الاستواء حتى السواحل الغربية لأمريكا الجنوبية المدارية في شهر كانون الأول.

يصطدم تيار البيرو البارد في العروض العليا الجنوبية، والذي يتحرك شرقاً، بالسواحل الغربية لأمريكا الجنوبية دافعاً بمياه باردة بعيداً عن هذه السواحل، ويتقدم لسان منه حتى خط الاستواء، ويتجه غرباً لمسافات محددة (شكل 2). وعلى طول السواحل الغربية لأمريكا الجنوبية المدارية تدفع الرياح التجارية الجنوبية الشرقية المياه السطحية أمامها إلى جهة الغرب لتتصعد مياه باردة مشكلة ما يعرف بالحركة الرأسية الصاعدة للمياه الباردة، كما يتجلى تأثير قوة كوريوليس بحرف مسار تيار البيرو (قرب مدار الجدي) بعيداً عن السواحل الغربية، ولما كانت للمياه السطحية سرعة كبسيرة جداً تفوق إلى حد كبير سرعة المياه الواقعة دونها عند أعماق كبيرة، كان هذا التيار ينعطف بمعدل كبير مما يعزز تلك حركة صعود المياه الرأسية من

الأعماق قبالة هذه السواحل، التي تقل درجة حرارتها كثيراً عن المياه التي حلت محلها (Critchfield, 1983).

تدفع الرياح التجارية الجنوبية الشرقية الهابة إلى جهة الغرب فوق المحيط الهادي المياه السطحية غرباً، حيث تتراكم هذه المياه في طرف المحيط الهادي الغربي ويرتفع مستواها 60 سم أو أكثر بالموازنة مع الطرف الشرقي (Hidore and Oliver 1993; Watson et al, 2001).

إن ثخن الطبقة المائية الدافئة على سطح المحيط الهادي الاستوائي رقيقة وتقل عن 100م، وفي نهاية هذه الطبقة هناك طبقة مائية حدية تدعى (طبقة الانحدار الحراري Thermo cline). حيث الماء بارد جداً دون هذه الطبقة. يغير انزياح الماء الدافئة جهة الغرب عمق طبقة الانحدار الحراري جنوب خط الاستواء. يتعمق مستوى هذه الطبقة إلى 200م دون السطح في غرب المحيط الهادي، بينما يرتفع هذا المستوى إلى السطح في شرق المحيط الهادي (شكل 3). لتحقيق التوازن المائي مع انزياح المياه الدافئة غرباً، تتدفق المياه جهة الشرق تحت السطح على طول طبقة التدرج الحراري، وهذا ما يعرف بتيار كرومويل Cromwell Current، أو التيار الاستوائي تحت السطحي. وهو تيار مائي قوي تصل سرعته حتى 1.1م/ثا في أوسط المحيط الهادي الاستوائي.

4-4- العلاقة بين العناصر الجوية والمحيطية:

يتقابل اللسان الاستوائي المائي البارد ((ECT)) في شرق المحيط الهادي مع بركة المياه الدافئة Equatorial Warm Pool EWP في أوسط المحيط الهادي الاستوائي وغربه، والتي تشغلها أدفاً مياه محيطية استوائية. ينسب ذلك حدوث التدرج الحراري النطاقي القوي ما بين شرق المحيط وغربه، ويعتقد أنهما يترافقان ترافقاً مباشراً مع تدرج قيم الضغط الجوي بين شرق المحيط وغربه، وهما اللذان يسببان دورة ولكر الحرارية

(Bjerckness,1969;Fu,1989;Houghton et al , 2001) وعندما تتوضع المياه الباردة السطحية في شرق المحيط الهادي قبالة سواحل البيرو والاكوادور يبرد الهواء فوقها وتسد حالة استقرار جوي نتيجة لارتفاع قيم الضغط الجوي فوقها، وتصبح هذه المنطقة مصدر تعزيز للرياح التجارية الهابة غرباً. بينما يتسخن الهواء فوق (EWP) ويسرّفع حملانياً، وتخفض قيم الضغط الجوي السطحي، وتهطل الأمطار بغزارة مادامت الرياح الهابة من مركز الضغط الجوي المرتفع شرقاً إلى مركز الضغط الجوي المنخفض غرباً تتسخن جراء ملامستها للمياه المحيطية الدافئة وتتسبع بالرطوبة.

ينقل التياران الاستوائيان الشمالي والجنوبي (NEC,SEC) كميات ضخمة من المياه الدافئة غرباً، ويشتد زخم هذين التيارين مع اشتداد الرياح التجارية ويدفعان أمامهما مياهاً دافئة غرباً مع إفساح المجال لظهور المياه الباردة في شرق المحيط بفعل حركة التآفق الريحي السطحي Surface Advection والحركة الرأسية للمياه الصاعدة المرتبطة بضغط الرياح السطحي Surface wind stress، والمحصلة ازدياد برودة المياه السطحية، وتعاضم قيم الضغط الجوي فوقها، ومن ثمّ تزايد سرعة الرياح التجارية لتعاضم غراديان الضغط الجوي فوقها بين شرق المحيط وغربه، لذا فالعملية هي عملية تعزيز ذاتي (Fu,1989). ولتعويض المياه المنتقلة غرباً هناك تيار كرومويل التعويضي الذي أشير إليه سابقاً، كما تسهم الرياح الغربية الاستوائية بدفع تيار مائي صغير وهو ((NECC)) الذي يحشر نفسه بشكل مخالف بين (SEC) و(NEC) ويدفع بمياه تعويضية دافئة من غرب المحيط الهادي إلى شرقه تصل في حوالي شهر كانون الأول من كل عام حتى سواحل أمريكا الجنوبية المدارية، لكن أثره محدود في الأحوال العادية في التأثير في حرارة المياه السطحية في شرق المحيط الهادي جنوب خط الاستواء.

5- النينو -الذئذبة الجنوبية /الانيسو:

حظيت مسألة الترابط بين الحوادث المناخية التي تتم على نطاق واسع مكانياً وزمانياً باهتمام علماء الرصد الجوي والمناخيين، الذين انصب اهتمامهم على اكتشاف طبيعة هذا الترابط ومسبباته. ولعل خير مثال على هذا الترابط، الذي لا يزال حتى الآن لغزاً محيراً، يتمثل "بالذئذبة الجنوبية". عندما ترتفع قيم الضغط الجوي فوق المحيط الهادي، يؤدي إلى ميل هذه القيم لانخفاض فوق المحيط الهندي من إفريقيا حتى استراليا، وتترافق هذه الظروف مع انخفاض درجة الحرارة في هاتين المنطقتين، كما يختلف الهطول بشكل معاكس لقيم الضغط الجوي (Walker and Bliss, 1930, 1937). وفي الستينيات من القرن الماضي توافرت بيانات كافية لرسم صورة واضحة لهذه الذئذبة (Berlage, 1966)، كما توضحت في الثمانينيات من القرن نفسه صورة مفصلة لهذه الذئذبة ما بين داروين في استراليا وتاهيتي في شرق المحيط الهادي (شكل 4).

تعرف الذئذبة الجنوبية SOI على أنها تأرجح طويل المدى (يحدث كل 3-7 سنوات) يصيب قيم الضغط الجوي عند مستوى سطح البحر فوق المحيطين الهندي والهادي في نصف الكرة الجنوبي. عندما ترتفع قيم الضغط الجوي عن المتوسط فوق المحيط الهادي الجنوبي، تميل هذه القيم لكي تنخفض عن المعدل فوق المحيط الهندي، والعكس صحيح، أي عندما تنخفض قيم الضغط الجوي في المحيط الهادي الجنوبي ترتفع قيم الضغط الجوي فوق المعدل في المحيط الهندي لنصف الكرة الجنوبي (WMO-No.7, 1998; WMO-No.892, 1999; Trenberth, 1976; Julian and Chervin, 1978; Chen, 1989). إن القرينة التي تقيس قيمة الذئذبة الجنوبية تعرف باسم ((قرينة الذئذبة الجنوبية SOI))، ويتم الحصول عليها بحساب الفرق في قيم الضغط الجوي بين تاهيتي وداروين في استراليا، وفي السنوات الاعتيادية تكون قيمة (SOI) موجبة (جدول 1). وفي بعض السنوات (كل 3-7 سنوات) تميل قيم الضغط

الجوي للارتفاع فوق غرب المحيط الهادي (داروين) كما تميل هذه القيم للانخفاض فوق شرق المحيط الهادي (تاهايتي) عندئذ تصبح قيم (SOI) سالبة (شكل رقم 5).

حظيت هذه الحالة (SOI السالبة) باهتمامات عظيمة خلال النصف الثاني من القرن العشرين بسبب ترافقها مع شذوذات حرارية ضخمة في درجة حرارة المياه السطحية في شرق المحيط الهادي الاستوائي، بحيث تلو المياه الدافئة في حوالي عيد الميلاد فوق المياه الباردة المحيطية في شرق المحيط الهادي بسبب تقدم هذه المياه من وسط المحيط الهادي وغربه نحو الشرق، وقد عرفت هذه الحادثة باسم ((النينو)) كناية عن التيار الاستوائي الشمالي العكسي الصغير الذي يعتقد أنه المسؤول عن تقدم هذه المياه شرقاً تقدماً غير اعتيادي في هذه المواقع، وفي هذا الوقت من العام. تتميز حادثة النينو بارتفاع شاذ في درجة حرارة المياه السطحية للمحيط الهادي قبالة سواحل البيرو والاكوادور (شكل 6) ويترافق هذا بحالات سلبية للذبذبة الجنوبية خلال الأحوال التي تكون خلالها شذوذات الضغط الجوي السطحي فوق المحيط الهندي المداري موجبة (Chan,1989;Philander,1983;Wyrski,1975;Rasmusson and Carpenter, 1982;Rasmusson and Wallace,1983;Bjerkens,1969).

إن التزامن بين الحالات السلبية لقرينة الذبذبة الجنوبية وحادثة النينو يقوي دورة هادلسي (Horel and Wallace,1981)، كذلك يضعف دورة ولكر الحرارية إلى الحد الذي تتحول فيه إلى ((دورة ولكر الحرارية العكسية)) إذ ينقلب اتجاه الرياح التجارية في المحيط الهادي المداري (Lichfield,1997). ونظراً لتوافق زمن حدوث النينو والذبذبة الجنوبية وترابطهما أطلق علماء المناخ مصطلح ((الينسو ENSO)) كدمج للمصطلحين، ويشير المصطلح الجديد إلى الفعل المشترك لهما، لأنهما مندمجتان بحيث تشكلان نظام شواشي Chaotuc System، أي إن كل حادثة تنبئية مهما كانت صغيرة (عادة لا يمكن تحديدها) يمكن أن تحرك كامل النظام باتجاه حادثة الينسو (Lichfield,1997).

6- التبدلات في نظام الغلاف الجوي والمحيطي في أثناء حادثة

الإينسو:

يلاحظ في السنوات الاعتيادية أن قيم (SOI) موجبة لوجود مياه باردة سطحية في شرق المحيط الهادي يعلوها ضغط جوي مرتفع، ومياه دافئة سطحية في غرب المحيط يعلوها ضغط جوي منخفض. تبعاً لهذه الظروف تهب الرياح التجارية الشرقية من مركز الضغط الجوي المرتفع في شرق المحيط إلى مركز الضغط الجوي المنخفض في غرب المحيط.

عندما تصبح قيمة (SOI) سالبة في بعض السنوات فهذا يعني أن قيم الضغط الجوي عند مستوى سطح البحر في غرب المحيط الهادي بدأت بالارتفاع بشكل شاذ (11)، كما تميل هذه القيم للانخفاض في شرق المحيط الهادي المداري قبالة السواحل الغربية لأمريكا الجنوبية المدارية. إذ يتزامن ذلك مع بداية السنة الميلادية، وتبقى درجة حرارة المياه السطحية في غرب المحيط الهادي مرتفعة (فوقها ضغط جوي مرتفع 11)، كما ترتفع درجة حرارة المياه السطحية في شرق المحيط الهادي المداري بشكل شاذ (فوقها ضغط جوي منخفض) ونتيجة لتناقص غراديان الضغط الجوي بين شرق المحيط وغربه تضعف الرياح التجارية الهابة من شرق المحيط إلى غربه، وعندما تصبح قيم الضغط الجوي فوق شرق المحيط أقل من غربه ينقلب اتجاه الرياح التجارية، فتهب الرياح من غرب المحيط إلى شرقه (دورة ولكر العكسية) ونتيجة لذلك يشتد زخم الرياح الغربية الاستوائية على طول خط الاستواء. يفسر ضعف الرياح التجارية، أو انعكاسها، بأن الماء السطحي الدافئ والذي كان يتجمع بشكل طبيعي في غرب المحيط الهادي الاستوائي (بجوار أندونيسيا وأستراليا) بفعل الرياح التجارية الشرقية، بدأ بالحركة السطحية العكسية العائدة نحو مركز المحيط وشرقه.

عندما تهب الرياح التجارية هبوباً معاكساً على هيئة غربيات قوية يضعف التياران الاستوائيان الشمالي والجنوبي (SEC,NEC)، كما تدفع هذه الرياح أمامها بلسان من المياه الدافئة شرقاً. يعرف هذا اللسان بموجة كلفن Kelvin wave. هناك فرق بين موجة كلفن والتيار المائي الاستوائي الشمالي العكسي NECC، وهما ليس واحداً غير أنهما يتحدان ويدفعان أمامهما الماء الدافئ بعيداً نحو شرق وجنوب شرق المحيط الهادي أكثر من المعتاد (Hidore and Oliver,1993).

وفي حوالي عيد الميلاد ترتفع درجة حرارة المياه السطحية لتفوق 30° م قبالة سواحل البيرو والاكوادور، وتزداد الرقعة التي تشغلها المياه الدافئة غير الاعتيادية لتمتد على طول 13000 كم بشكل يحيط بخط الاستواء الجغرافي من الشمال والجنوب نحو 7.5 درجة عرض (حوالي 830 كم). كما ينخفض موقع المياه الباردة، ويتوضع فوقها مياه دافئة بسماكة 150 متراً تقريباً، ويرتفع مستوى سطح البحر نحو 0.25 م، وبذلك ينخفض مستوى طبقة الانحدار الحراري قبالة سواحل البيرو والاكوارد من مستوى سطح البحر (راجع الشكل 3) حتى عمق 150 م عند ظهور حادثة الاينسو (شكل 7) كما يتوقف تدفق المياه الباردة جهة الشرق عبر تيار كرومويل.

تؤثر درجة حرارة المياه السطحية، وتبدل أنظمة الضغط الجوي السائدة، ومنظومة الرياح على كمية الأمطار وتبدلاتها. ففي سنوات الإينسو تتحرك العواصف المدارية التي كانت تسقط أمطاراً غزيرة فوق أندونيسيا وأستراليا، شرقاً مع تحرك المياه الدافئة لتسقط أمطاراً غزيرة فوق أواسط المحيط الهادي وشرقه، وتطال هذه الهطولات مناطق جافة بطبيعتها، وتؤدي إلى فيضانات غير اعتيادية في البيرو والاكوادور بينما يصيب الجفاف أندونيسيا وشمال أستراليا.

6-1 مناقشة هذه التبدلات:

تتمثل السمات الأساسية التي تسود عند حدوث الإينسو بارتباط درجة حرارة المياه السطحية المحيطية المرتفعة في شرق المحيط الهادي المداري بالضغط المنخفض والهطولات الغزيرة، بينما تقترن المياه السطحية الدافئة في غرب هذا

المحيط وشرق المحيط الهندي بهطولات قليلة وضغط جوي مرتفع. لتفسير هذا الأمر لجأ فيو (Fu,1989) لاستخدام مفهوم التوازن الستاتيكي Static equilibrium بغية توضيح طبيعة العلاقة بين درجة حرارة المياه السطحية والضغط الجوي السطحي فوقها. إن الهواء الجائم فوق المياه السطحية الدافئة سوف يتسخن، ثم يتمدد، ويرتفع مطوراً أنظمة من الضغوط الجوية المنخفضة (شرق المحيط الهادي)، والعكس بالعكس.... ولكن من وجهة نظر أخرى، فإن تطویر منخفضات جوية حرارية سوف يزيد نسبة التغميم، وهذا ينقص عملية امتصاص الماء للأشعة الشمسية، ومن ثم تنخفض درجة حرارة المياه السطحية، لذا فإن النتيجة النهائية سوف تعتمد على توازنهما. وبالطريقة نفسها فإن نظام الضغط الجوي المرتفع الذي يقلل من نسبة التغميم سوف يزيد امتصاص الأشعة الشمسية، وبالتالي تزداد درجة حرارة المياه السطحية. إن العلاقة بين درجة حرارة المياه السطحية والضغط الجوي السطحي في غرب المحيط الهادي وشرق المحيط الهندي في أثناء حادثة الالينسو ربما تكون من هذا القبيل (شكل 8).

أوضح داس (Das,1986) العلاقة بين المياه السطحية الدافئة في شرق المحيط الهادي المداري وغربه وحركة الرياح بينهما (دورة ولكر العكسية) على أساس أن غسياب الاتزان الجيوستروفيكى⁽¹⁾ (Geostrophic balance) في العروض المدارية يخلق رياح تدرج حراري قوية، حتى ولو كان الفرق بين درجتى الحرارة بسيطاً أو ضعيفاً جداً.

لم يستطع العلماء حتى تاريخه تحديد نقطة ثابتة تمثل الانطلاقة الأولى في هذا النظام الجوي - المحيطي الشاذ، فكل حادثة تبدأ بظروف متباينة عن الأخرى، كما أن هناك الكثير من الأسئلة تنتظر الإجابة. فهل تباين قيم الضغط الجوي يبدأ أولاً ثم يتبعه

(1) - الاتزان الجيوستروفيكى: الحالة التي تتوازن فيها قوة تدرج الضغط مع قوة كوريوليس.

تبدل في وجهة الرياح التي بدورها تعزز التيار الاستوائي الشمالي العكسي وموجة كلفن اللذين يدفعان بالمياه الدافئة شرق المحيط ؟ أم أن المياه الدافئة تظهر أولاً شرق المحيط ثم يتبعها انخفاض في قيم الضغط الجوي السطحي في شرق المحيط وارتفاعه في غرب المحيط ثم تبدل وجهة الرياح....؟ ظهرت بعض حوادث الاينسسو قبالة سواحل أمريكا الجنوبية المدارية مع ظهور المياه الدافئة، ثم تبعها تغيرات في العناصر الجوية، وانتقلت تأثيراتها نحو الغرب. ظهرت حادثة الاينسسو 1983/82 في الحوض الغربي من المحيط، إذ بدأت مع تغيرات في قيم الضغط الجوي ثم في النظام الريحي السائد الذي اسهم بانتقال المياه الدافئة نحو الشرق، كذلك الهطولات. وعكس ذلك تطورت حادثة الاينسسو 1997/1998 مع ارتفاع درجة حرارة المياه السطحية لشرق المحيط تبعها تغير في قيم الضغط الجوي، ثم انتقلت التأثيرات غرباً.

أجرى فيو (1989) دراسة تحليلية إحصائية حول طبيعة العلاقة بين العناصر المحيطية (درجة حرارة المياه السطحية SST، التيار الاستوائي الشمالي العكسي NECC، التيار الاستوائي الشمالي NEC، التيار الاستوائي الجنوبي SEC، اللسان الاستوائي البارد لشرق المحيط الهادي ECT) والعناصر الجوية (متوسط الجريان الريحي الطولاني Im، ومتوسط الجريان الريحي النطاقي عند خط الاستواء Iz، شدة مرتفع شمال المحيط الهادي H، شدة المنخفض الاستوائي L) باستخدام المتوسطات الشهرية لجميع هذه العناصر خلال الفترة (1963-1975)، إذ استنتج من دراسته:

- أن الاختلافات التي تطرأ على جميع العناصر المحيطية عادة ماتسبق نظيراتها من عناصر المناخ، مع وجود فارق زمني أعظمي يصل حتى سبعة أشهر..... وهذا يدعونا للاقتراح بأن هناك احتمالاً لأن يؤدي المحيط دوراً في ظهور الذبذبة الجنوبية قصيرة التردد..... إن هذه النتائج تتفق مع النتائج التي توصل إليها راس ميوسن وكاربنتر (Rasmusson and Carpenter, 1982). لقد تبين أن تغيرات

درجة حرارة المياه السطحية المحيطية تقود إلى وجود اختلافات في قيم الضغط الجوي السطحي مابين تاهيتي وداروين بعد نحو 3.3 ± 0.3 شهر.

- من بين جميع العناصر المحيطية يبدو أن NECC هو مفتاح التفاعل بين المحيط والغلاف الجوي.

- أن اختلاف SST ترتبط أساساً بالاختلافات التي تعترى NECC أكثر من ارتباطها بالاختلافات التي تعترى NEC و SEC.

- أن الاختلافات التي تطرأ على NECC تظهر قبل شهر ونصف الشهر من التغيرات في SST في شرق المحيط الهادي الاستوائي.

- عندما يتقوى NEC و NECC ترتفع SST في ECT وتسيطر المياه الدافئة والعكس صحيح.

لقد بات واضحاً أن اختلاف SST في شرق المحيط الهادي الاستوائي مرتبط ارتباطاً رئيسياً باختلافات NECC. إن الاختلافات الطارئة على SST في ECT تؤثر في الاختلافات التي تطرأ على SEC و NEC، ومن ثم فإن الفرضية الأولى حول أن مايطرأ على SEC من اختلافات يعد نقطة الانطلاق الأولى لبداية اختلافات SST في شرق المحيط الهادي لانتوافق مع النتائج الإحصائية التي تقول ((إن انتقال المياه السطحية الدافئة من غرب المحيط إلى شرقه بواسطة NECC يعد أكثر أهمية لاختلافات SST في EST لشرق المحيط الهادي الاستوائي (Fu,1989)، وكما تبين من الملاحظات الحديثة والدراسات النظرية، فإن الاختلاف في شدة NECC يعود أساساً إلى الاختلافات الطارئة على الغربيات الاستوائية، وموجة كلفن المرتبطة بذلك.

وضع جينج (Jing, 1966) أن سرعة NECC تقدر بثلاثة أمثال سرعة NEC و SEC، كما يقدر حجم المياه الدافئة الذي ينقله هذا التيار بالحجم نفسه الذي ينقله تيار كورشيوفو أو تيار الخليج. وما دام NECC تياراً ضعلاً يتوسط ويعاكس NEC

و SEC، إلا أن السرعة العالية التي يتصف بها، والكمية الضخمة من المياه الدافئة التي ينقلها يمكن استخدامها لتفسير ذلك. ونظراً لأن NECC يتجول بين SEC و NEC فإنه من المحتمل أن يكون أكثر حساسية للاختلافات التي تطرأ على النظام الريحي السائد فوقه.

7- أسباب حادثة النينو

تعد حادثة النينو تعبيراً بارزاً عن العلاقة المتبادلة بين الغلاف الجوي والمحيطات (Chen,1989). وهي نتاج التفاعل بين عناصر محيطية وأخرى جوية. إنه حقاً تفاعل معقد يحدد بداية حوادث النينو ونهايتها. لكن الشيء المهم هنا هو معرفة نقطة الانطلاق الأولى في هذا التفاعل، إذ إن أي تبدل مهما كان ضئيلاً في هذه العناصر يقود بالتالي إلى تبدلات متتالية سببية نتيجة العلاقة المشوشة بين هذين النظامين، توجهه دورهما جميع هذه العناصر نحو تطوير هذه الحادثة حتى بلوغها مرحلة الكمال.

أشارت جميع الدراسات المتخصصة إلى أن النينو حادثة تظهر كل عدة سنوات، ولا زالت أسبابها مجهولة حتى الآن، ومع ذلك وضعت افتراضات حول مسبباتها. بعضهم يرى أن حادثة النينو تنجم عن الكميات الهائلة من الحرارة التي تنطلق إلى قعر المحيطات عندما تتدفق الماغما إلى هذا القعر من الأعماق. وهناك رأي آخر مفاده أن حادثة النينو تنجم عن السقوط الغزير للثلوج فوق آسيا في الشتاء الذي يسبق ظهور هذه الحادثة. تقول هذه الفرضية إنه عندما تتراكم الثلوج فوق الكتلة القارية لأوراسيا في شتاء ما، فإن ذوبان الثلوج سيكون أعظم خلال فصل الصيف اللاحق، وهذا ينقص بدوره التسخين الاعتيادي للكتلة القارية خلال فصل الصيف، وللأسف فمن المحتمل انتظار مرور عدة حوادث نينو بغية اختبار صحة هذه الافتراضات (Hidore and Oliver,1993). بينما أكد آخرون أن للتأثيرات الخارجية (والتي

تعرف أحياناً كقوة) المستمدة من الثورات البركانية والبقع الشمسية تأثيرات مهمة في ظهور هذه الحادثة، غير أن هذا الأمر لم يدعم بالأدلة والبراهين حتى تاريخه (WMO-No.2,1997).

أشار كلانتز (Glantz, 1997) إلى أن هذه الحادثة تظهر بفعل الطبيعة (By Nature)، وكل ما يستطيع العلماء فعله الآن هو محاولة التنبؤ بهذه الحادثة، ثم مراقبتها وتحليلها، وخلق أفكار جديدة بعد كل حادثة حول مسبباتها، كذلك الإتيان بأفكار جديدة حول ما يمكن أن تحدثه من تأثيرات. تعطينا حادثة النينو فرصة أخرى للتفكير حول ((كيف يمكن للنينو أن تؤثر بنا خلال العام القادم بافتراض أن هذه الحادثة ستظهر حتماً.)) وبعد مناقشة مستفيضة لحادثة النينو ومسبباتها كان ليتشفيلد (Lichfield, 1997) أكثر جرأة وصراحة حين سلّم بدور القدرة الإلهية وكتب ((هي إحدى أعمال الله سبحانه وتعالى ((An Act of God)).

8- التنبؤ بحادثة النينو:

تركزت النشاطات البحثية خلال العقود الثلاثة الماضية حول اشتقاق برامج (موديلات) كومبيوتر للتنبؤ بحادثة النينو قبل حدوثها، وموعد اضمحلالها، وبالتالي ديمومتها بغية التوجيه باتخاذ الإجراءات الكفيلة بتخفيف حدة آثارها الضارة إقليمياً وعالمياً. يتم كشف حادثة النينو عند حدوثها من خلال صور التتابع الصناعية المتتالية لدرجة حرارة المياه السطحية في المحيط الهادي، ولمستوى سطح الماء في هذا المحيط. كذلك من خلال قياسات الأجهزة المركبة على عوامات راسية وأخرى متحركة، والسفن البحثية ومحطات الرصد الأوتوماتيكية في الجزر المنتشرة عبر المحيط، إذ تنقل هذه البيانات في الوقت المناسب إلى المراكز البحثية لمعالجتها وتحليلها وملاحظة أي حادثة عرضية.

ليس بالإمكان التنبؤ بحادثة النينو بدقة (Hidore and Oliver, 1993; Lichfield, 1997) ومع ذلك هناك محاولات متواصلة بهدف استنباط برامج تنبؤية دقيقة. ربما يعزى السبب

في صعوبة التنبؤ إلى أننا نجهل حتى الآن مسببات هذه الحادثة (Hidore and Oliver, 1993) شكلت الأمم المتحدة لجنة مختصة لمناقشة حادثة النينو في شهر أيلول 1982، غير أن هذه اللجنة لم تستطع التنبؤ بهذه الحادثة التي بدأت لاحقاً بعد هذا اللقاء بقليل في الشهر نفسه، كذلك لم يستطع العلماء اكتشاف حادثة النينو 1982/1983 على الرغم من كونها واحدة من أشد حوادث النينو التي سبقتها، وتمييزها كحادثة نينو حتى انقضت نصف فترة ديمومتها.

حاول العديد من علماء المناخ استخدام نماذج كومبيوتر تنبؤية كي يشكلوا ثانية في هيئة صورة مبسطة افتراضية للأرض والمحيط تلك التأثيرات التي شاهدها في الطبيعة عند وقوع حادثة النينو. هناك العديد من الموديلات التي تعتمد على الافتراضات مختلفة وعلى إسقاطات إحصائية لدرجة حرارة المياه المحيطية السطحية. يعدّ نموذج كانسي- زيباك (Cane-Zebiak model) المطور في جامعة كولومبيا في نيويورك من أطول النماذج الجارية (1986-1997). عدّ هذا النموذج ناجحاً عند التنبؤ ببداية حادثة النينو المتوسطة الشدة التي حدثت خلال هذه الفترة، لكنه كان عاجزاً عن التنبؤ ببداية حادثة النينو للعام 1997 (Lichfield, 1997). إن النماذج الرياضية التي استخدمها المناخيون للتنبؤ عن حادثة النينو كانت قاصرة جداً (Hidore and Oliver, 1993).

هناك صعوبات جمة تحول دون التنبؤ الدقيق بحادثة النينو. إن جهلنا لمسببات هذه الحادثة يعد من أهم الصعوبات، كذلك هي ليست حادثة دورية لعدم وجود فواصل زمنية منتظمة بين حادثة وأخرى، ولا سعة ثابتة أيضاً. تبدأ كل حادثة بشكل مختلف عن الآخر، كذلك تتطور تطوراً متبايناً. يمكن للنماذج التنبؤية الحالية أن تعطينا إسقاطات Projections لعدة أشهر مقدماً، كما أن بعض المراكز المناخية تزودنا حالياً بتنبؤات دورية ومنتظمة عن النينو، غير أنه خلال بعض الأوقات مثل بداية الحادثة، قمة الحادثة، مراحل تراجعها فإن المهارات التنبؤية لا تزال حتى الآن ضعيفة

(WorldclimateNews, No.13, 1998, No.20, 2002)، وقبل ذلك كان ليثسفيلد (Lichfield, 1997) قد أوضح أن مسألة التنبؤ عن حادثة النينو قبل سنة من حدوثها أمر بعيد للمثل في الوقت الحالي.

9- تكرار ظهور حادثة النينو وديمومتها:

تعد دراسة التقلبات والذبذبات التي تصيب حركة الجو العامة أحد الموضوعات المهمة والحيوية في علوم الغلاف الجوي الحديثة (Chen, 1989). اقترحت العديد من الدراسات أن هذه الذبذبات تتميز بأنماط مكانية محددة، وتميل للظهور في مواقع جغرافية مفضلة (Gambo and Kudo, 1983; Namias, 1981; Van Loonn and Roger, 1978) تعد حادثة النينو من الأمثلة النموذجية لمثل هذه الأنماط من الذبذبات التي تميل للظهور في موقع جغرافي محدد (Chen, 1989).

ومنذ العام 1876 عندما أحدثت سجلات للرصد الجوي، ظهرت حادثة النينو كل 3-5 سنوات، لكن خلال العقود الحديثة الأخيرة من القرن الماضي لوحظ أن ظهور هذه الحادثة كان أكثر تكراراً من ذي قبل، كما كانت تدوم أحياناً لعدة سنوات، وخير مثال على ذلك حادثة النينو التي ظهرت منتصف سنة 1990. واستمرت حتى منتصف 1995، وكانت الحادثة ذات الديمومة الأطول في تاريخ السجلات (Latif and Neelin, 1994; Dilley and Heyman, 1995).

تظهر حادثة النينو كل 4-5 سنوات وتستمر من 14-22 شهر (Hidore and Oliver, 1993)، بينما رأى خبراء منظمة الأرصاد الجوية العالمية أن هذه الحادثة تحدث كل 3-4 سنوات تقريباً (World climate News, No.13, 1998).

10- شدة النينو:

تتشابه حوادث النينو بخصائصها العامة، ولكن نادراً ما تتشابه حادثتا نينو متتاليتان، لأن كل حادثة تختلف إلى حد ما عن الأخرى من جهة الانطلاق، والحجم والديمومة والشدة، ووطأة تأثيراتها في مقياس إقليمي وعالمي. لقد بات مؤكداً وجود

علاقة ترابطية بين وطأة تأثيراتها العالمية وشدة هذه الظاهرة، وكذلك هناك إمكانية لأن تتسبب بظهور تأثيرات خطيرة جداً في أقاليم رئيسية محددة بغض النظر عن شدتها (WMO-EINinoupdate, June, 2002). تقاس النينو من خلال معرفة قيمة SOI ، فكلما كانت القيمة السالبة لـ SOI كبيرة كانت حادثة النينو شديدة الوطأة. بينما استخدم كوين ونيل (Quinn and Neal, 1995) معايير أخرى لتصنيف شدة حوادث النينو تتعلق بمدى ارتفاع درجة الحرارة السطحية المحيطية، ومدى ارتفاع مستوى سطح الماء في شرق المحيط الهادي، ومدى تدرج قيم الضغط الجوي فضلاً عن الهطولات المرافقة، ومدى الخراب الذي تسببه على الأنظمة الأيكولوجية، وصنفها إلى حوادث قوية جداً (VS) وقوية (S) ومتوسطة الشدة (M) (شكل 9).

11- تاريخ حوادث النينو:

بالإمكان تتبع ظهور حوادث النينو بدقة منذ العام 1876، عندما أحدثت سجلات للرصد الجوي، حتى الوقت الراهن من خلال نشرات منظمة الأرصاد الجوية العالمية الاختصاصية El Nino up date. غير أن هناك إشارات حول هذه الظاهرة تعود لزمان أقدم من ذلك بكثير. فلقد كتب هايدر وأوليفر (Hidore and Oliver, 1993) " لاحظ بعض المختصين في سنة 1541 أن التيار الشمالي العكسي الدافئ يتعمق كثيراً جهة الشرق والجنوب حوالي عيد الميلاد، وتعلو مياهه الدافئة فوق المياه الباردة قبالة سواحل البيرو والاكوادور وشمال تشيلي، ويهطل المطر على طول السواحل الصحراوية الساحلية ". وفي دراسة مفصلة حول السجلات التاريخية لحوادث النينو قدم كوين ونيل (Quinn and Neal, 1995) جدولاً بحوادث النينو وشداتها من 1520 حتى 1990 (راجع الشكل 9).

11-1- حادثة النينو 1982/1983:

بدأت قيم الضغط الجوي بالارتفاع فوق المحيط الهندي وغرب المحيط الهادي خلال صيف 1982، بينما بقيت درجة حرارة المياه السطحية المحيطية قرب المعدل

في أثناء فصل الربيع وبداية صيف 1982، لوحظ أن الأمطار التقليدية الغزيرة لم تسقط فوق استراليا وميكرونيزيا (مجموعة من الجزر شرق الفلبين). وبعد الانقلاب الصيفي بقليل انعكس النظام الريحي السائد فوق غرب المحيط الهادي المداري، لكن درجة حرارة المياه السطحية قبالة سواحل أمريكا الجنوبية المدارية بقيت حول المعدل. وفي 25 أيلول 1982 ارتفعت درجة حرارة المياه السطحية قبالة بياتا Piata في البيرو حوالي 4°C في يوم واحد، وفي بداية كانون الأول وصلت SST إلى حدتها الأقصى (31°C) بزيادة قدرها 8°C فوق المعدل، كما امتدت الرقعة التي شغلتها المياه الدافئة غير الاعتيادية على طول 13000 كم جانبي خط الاستواء. وفي نهاية شهر كانون الأول للعام 1982 انخفض عمق طبقة الانحدار الحراري قبالة سواحل البيرو إلى 150م. عدت هذه الحادثة الأخطر والأكثر شدة خلال مئة العام التي سبقت ظهورها، وربما كانت الأخطر في تاريخ السجلات، وقدرت خسائرها على مستوى العالم بسـ 14 مليار دولار أمريكي (WMO-No.3,1998).

11-2 حادثة النينو 1997/1998:

تعد حادثة النينو 1997/1998 إحدى الحوادث العنيفة في تاريخ سجلات الرصد الجوي. تطورت هذه الحادثة العرضية بسرعة كبيرة في أواسط المحيط الهادي المداري وشرقه في شهري نيسان وأيار 1997 مع ارتفاع كبير في درجة حرارة المياه السطحية لم يسبق لها أن وصلت إليه في تاريخ السجلات (WMO-No.3,1998). وخلال النصف الثاني من العام نفسه أصبحت هذه الحادثة أكثر شدة مقارنة بحادثة النينو 1982/1983، حيث وصلت درجة الحرارة أقصى قيمة لها خلال حزيران، مع شذوذات في درجة حرارة المياه السطحية في أواسط المحيط الهادي وشرقه تراوحت بين $2-5^{\circ}\text{C}$ فوق المعدل. وبدءاً من شهر أيار ارتفعت درجة حرارة المياه السطحية في أواسط المحيط الهادي وشرقه فوق 28°C ، كما لوحظ غياب التبريد الطبيعي للمياه هنا خلال هذه الفترة، ومن شهر آذار 1997 بدأت قيمة SOI

بالارتفاع لتصل إلى أعلى قيمة لها في شهر آذار من العام التالي، وهذا أدى بدوره إلى تركّز الهطولات الغزيرة المدمرة في شرق المحيط الهادي. فعلى سبيل المثال، تلقت سواحل البيرو في شهر كانون الأول من عام 1997 و كانون الثاني من عام 1998 حوالي 775 ملم، في حين أن معدل الهطول خلال هذين الشهرين 6 ملم فقط. وعند منتصف كانون الثاني 1998 تناقص حجم لسان المياه الدافئة المصاحبة لحادثة النينو بحوالي 40%، ومع ذلك لازالت المساحة التي تشغلها المياه الدافئة تعادل مرة ونصف المرة من مساحة الولايات المتحدة الأمريكية. يحتوي هذا اللسان الدافئ على كمية ضخمة من القدرة الحرارية وقد هيمنت تأثيراته على أنماط المناخ العالمي حتى منتصف 1998، وجعلت سنة 1997 من أحر السنوات في تاريخ السجلات على مستوى الكرة الأرضية (Watson,et al;2001).

11-3 هل هناك حادثة نينو للعام 2002 - 2003 ؟

انخفضت درجة حرارة المياه السطحية في أثناء شهر حزيران في شرق المحيط الهادي المداري ووسطه دون معدلاتها الطبيعية (شكل 10) معلنة بداية حادثة لانينا جديدة استمرت حتى الأشهر الأولى من سنة 2001، إذ انخفضت درجة الحرارة بـ 1°م دون المعدل (WMO-EINino up date ,Aug. 2001; Jun,2002).

بدأت درجة حرارة المياه السطحية بالارتفاع من حزيران 2001، ولكن ببطء شديد لتصل 1°م فوق المعدل. وبما أن الفترة من حزيران حتى تشرين الأول تعد فترة تبريد طبيعي للمياه في هذا القطاع (شرق المحيط الهادي المداري)، وهي غير مناسبة لتطور حوادث نينو. بقيت الأوضاع كما هي عليه بانتظار الفترة من آذار حتى أيار للعام 2002، الفترة الأكثر تلاؤماً لتطور هذه الحادثة (WMO-World Climate News, No.20, June 2002).

خلال شهر شباط 2002 بدأت درجة حرارة المياه السطحية للمحيط الهادي بالارتفاع على السواحل الاستوائية لأمريكا الجنوبية، ومعظم الأجزاء الشرقية من المحيط الهادي المداري الاستوائي، واستمر الوضع حتى حزيران من العام نفسه، إذ ظهرت مؤشرات في المحيط الهادي المداري باحتمال بداية حادثة نينو جديدة للعام 2003/2002. أثر هذا الارتفاع الشاذ لدرجة الحرارة بقوة في الأنماط المناخية في المواقع المجاورة، إذ تزايدت الهطولات إلى حد كبير فوق الأقاليم الساحلية لدول البيرو والاكوادور وبوليفيا وتشيلي. تلقت المراكز المختصة تقارير عن أمطار غزيرة سببت الفيضانات، وانهيالات للتربة، وخسائر بشرية فادحة، وتأثيرات سلبية حادة في الزراعة ومصادر الطاقة (WMO-World Climate News, No.21, Jun.2002).

بدأت قيم الضغط الجوي بالارتفاع فوق غرب المحيط الهادي، وبالانخفاض فوق شرقه، وأصبحت قرينة الذبذبة الجنوبية ((SOI)) سالبة (-5.2، -3.8، -14.5، -6.7، -14.6) للأشهر من آذار حتى تموز 2002 على التوالي (جدول 1). ترافق التسخين الجديد للمياه الممتدة قبالة سواحل البيرو والاكوادور مع سيادة رياح غربية بسدأت تعصف في المحيط الهادي المداري حول خط التاريخ الدولي في شهر كانون الأول 2001 (قيمة SOI هي -9.1) أسهمت الرياح الهابة بانتقال ومضي للمياه الدافئة إلى أقصى شرق المحيط الهادي المداري. كذلك لوحظ هبوب الرياح الغربية في غرب المحيط الهادي المداري خلال شباط 2002، غير أنها لم تكن بالشدة التي كانت عليها في كانون الأول نفسها. وفي نهاية أيار 2002 بات مؤكداً وجود تطور واضح لأنظمة الرياح السطحية فوق المحيط الهادي المداري، حيث ضعفت الرياح التجارية الشرقية السائدة في شرق المحيط ووسطه، وأسهم ذلك باستجابات محيطية تبعية تزامن بارتفاع في متوسط درجة حرارة المياه السطحية المحيطية قدره 1°C م فوق المعدل في وسط المحيط الهادي وشرقه.

إن السؤال المطروح الذي يواجه الموديلات التنبؤية هو: هل هذا التسخين الذي بدأ في شرق المحيط الهادي قبالة سواحل البيرو والاكوادور سوف يمتد فوق وسط المحيط الهادي المداري، وسيقود بالتالي إلى ظهور حادثة نينو عظيمة الشأن ؟. إن ماتقول به هذه الموديلات واقتراحات المختصين حول الأوضاع الحالية السائدة تؤكد وجود حيرة والتباس حول كيفية تطور الأوضاع المناخية خلال الفترة الزمنية التالية. حتى تاريخ الانتهاء من إعداد هذا البحث لم تكن الظروف المحيطية - الجوية قد تبلورت، وعليسنا الانتظار حتى انتهاء الفترة في نهاية تشرين الأول (فترة تبريد طبيعي) وترقب الأوضاع من تشرين الثاني 2002 (الفترة المثالية لتطور الظاهرة) لتبديد هذه الشكوك أو تأييدها. أخيراً لابد من الإشارة إلى إمكان ظهور تقلبات مناخية مهمة خلال الأشهر القليلة القادمة في أرجاء مختلفة من الكرة الأرضية حتى لو لم تتطور الأمور حول ظاهرة نينو جديدة.

12- اللانينا:

دعني التبريد المفاجئ غير الاعتيادي للمياه السطحية في وسط المحيط الهادي الاستوائي وشرقه بحادثة ((اللانينا)). أطلق هذا الاسم على هذه الحادثة لأول مرة سنة 1987 (Hidore and Oliver,1992). انخفضت درجة حرارة المياه السطحية المحيطية خلال صيف 1987 في شرق المحيط الهادي على طول خط الاستواء بنحو 4°C دون المعدل، وقد سبب ذلك حادثة اللانينا. كذلك حدث انتقال سريع من الشروط المصاحبة لحادثة النينو 1998/97 إلى الشروط التي ترافق حادثة اللانينا التي دامت من أواسط 1998 حتى الأشهر الأولى من 2001.

تسرع قيم الضغط الجوي (المرتفعة بطبيعتها) ارتفاعاً شاداً في أثناء حادثة اللانينا في شرق المحيط الهادي، كما تنخفض كثيراً (منخفضة بطبيعتها) في غرب المحيط الهادي المداري انخفاضاً غير اعتيادي، وبذلك يزداد تدرج (غراديان) الضغط

الجوي بين شرق المحيط وغربه، وتتقوى بشكل كبير الرياح التجارية الهابة نحو غرب المحيط الهادي، كما تتقوى دورة ولكر الحرارية، وتنتقل كميات ضخمة من المياه الدافئة من وسط المحيط إلى غربه. وعندما تتقوى دورة ولكر في ظروف اللانينا يزداد جفاف الصحارى الساحلية في دول البيرو وتشيلي والاكوادور. وعند الحافة الغربية من هذه الدورة يتحصل جنوب شرق آسيا على هطولات صيفية أكثر من المعتاد.

عزا بعض العلماء الجفاف الذي أصاب وسط غرب الولايات المتحدة الأمريكية في صيف 1998 إلى ظاهرة اللانينا. إن التبدل الذي طرأ على درجة حرارة المياه السطحية المحيطية غير نمط تدفق التيار العلوي السريع (جت ستريم Jet stream) من التدفق النطاقي إلى نمط مغاير، بحيث تضمن هذا النمط تقوساً ضخماً فوق أمريكا الشمالية، وتطور مرتفع جوي ضخم ضمن هذا التقوس نجم عنه ارتفاع درجة الحرارة وأحوال جفافية (and Oliver,1993 Hidore).

ربطت الأبحاث التخصصية بين تناقص شدة الأعاصير المدارية الأطلسية وفعاليتها وبين ظهور حادثة النينو، كذلك تزايد فعالية هذه الأعاصير وشدتها بظهور حادثة اللانينا جاء فصل الأعاصير المدارية سنة 1998 بـ 14 هوريكان لها أسماء محددة في المحيط الأطلسي. يمثل ذلك ضعف العدد الذي ظهر سنة 1997 عندما كانت شروط النينو سائدة، كذلك يفوق هذا العدد المعدل السنوي للأعاصير المدارية الأطلسية البالغ 9 أعاصير. يعدّ هوريكان ميتشي Mitch الذي ضرب دول أمريكا الوسطى في شهر تشرين الأول 1998 الأقوى في تاريخ السجلات من حيث شدته، وديمومته، وتواصل الأمطار الغزيرة المدمرة، ورياحه الهائجة. وقد تسبب بمقتل 20000 شخص، وترك الملايين دون منازل، وعند مستويات متقدمة من الأمراض، وقدرت خسائره بحوالي 14 مليار دولار أمريكي (WMO-No.8,1999).

13- تأثيرات النينو في شذوذات الحرارة والأمطار في العروض المدارية:

يتجلى أثر حادثة النينو في شذوذات الحرارة والأمطار بشكل رئيس وواضح في المحيط الهادي المداري والدول المجاورة له، إذ ترسخت لدى المختصين صورة جلية وواضحة لهذه الشذوذات تتكرر ملامحها العامة دون اختلافات تذكر في كل حادثة نينو، غير أن قسوتها تختلف وفق شدة هذه الحادثة، بينما يكون هناك تشويش في ملامح هذه الضورة داخل العروض المدارية خارج النطاق المذكور، إذ لا تتكرر تكراراً دائماً هذه الملامح في كل حادثة نينو. يمكننا ايجاز هذه التأثيرات كما يلي: إن الانزياح الشرقي للعواصف الرعدية الفعالة من فوق أندونيسيا والفلبين وشمال شرق أستراليا إلى وسط المحيط الهادي وشرقه ينجم عنه أحوال جفافية فوق هذه المواقع فضلاً عن شمال أمريكا الجنوبية وجنوب أفريقيا وشرقها، وشرق المحيط الهندي. بينما تسود هطولات غزيرة غير اعتيادية على السواحل الغربية للإكوادور وشمال البيرو، وجنوب شرق أمريكا الجنوبية (جنوب شرق البرازيل، الأرجواي، أجزاء من وسط الأرجنتين) وشمالها وغرب المحيط الهندي، وشرق أفريقيا الاستوائية، وفوق العروض شبه المدارية لأمريكا الشمالية (فوق كاليفورنيا، والثلث الجنوبي من الولايات المتحدة). كما تسود أحوال حرارية مرتفعة أكثر من المألوف فوق أندونيسيا، وغرب أفريقيا، وجنوب الهند، وشمال أمريكا الجنوبية، فضلاً عن معظم وسط أمريكا الشمالية (فوق الثلث الشمالي من الولايات المتحدة الأمريكية).

14- بعض التأثيرات العالمية للنينو:

تعد حادثة النينو نمطاً من تباينية المناخ Climate Variability، التي تؤثر تأثيراً مباشراً في الدول المطلة على المحيطين الهادي والهندي المداريين. إلا أن تأثيراتها تمتد لتشمل الأنماط الطقسية خارج العروض المدارية (Galantz, 1997; WMO-)

(No.5,1998) بل على مستوى العالم من خلال ترابط الحوادث الطباقية بمختلف أنحاء الكرة الأرضية مع حادثة النينو من خلال ما يعرف بظاهرة الترابط عن بعد (Via so-Dilley and Heyman,1995; (called Teleconnection⁽¹⁾) (WHO/WMO/UNEP,1996;Lichfield,1997).

إن التركيز الضخم للحرارة الزائدة على المياه المحيطية شرق المحيط الهادي المداري في أثناء ظهور حادثة النينو يعدل الغلاف الجوي فوقها مباشرة، وتنتقل هذه التأثيرات حول الكرة الأرضية من خلال حركة الجو العامة المعدلة، مؤدية إلى تبدلات في أنماط الطقس الاعتيادية فوق العديد من الأقاليم. كذلك تتعدل درجة حرارة المياه السطحية في المحيطين الهندي والأطلسي والتي تؤثر بدورها في المناخ المهيمن فوقها، وفوق أراضي اليابسة المجاورة. يتشارك الغلاف الجوي فوق هذه المحيطات الثلاثة مع الكتلة المائية الضخمة الواقعة تحته، والمنشابهة معه في الخصائص الحرارية، كي يعظم أكثر الشذوذات في درجة الحرارة الأولية للطبقة المائية السطحية. النتيجة هي استجابة المناخ التي تعدّ بحق عالمية. يلاحظ في العروض غير المدارية أن التأثيرات أكثر تبايناً ما بين حادثة نينو وأخرى بعكس العروض المدارية (WMO-No.2,1997).

لعل أهم تعديل يصيب أحد أكثر الأوجه البارزة في حركة الجو العامة في أثناء حادثة النينو هو، ذلك التغيير في موضع التيار العلوي السريع (الجت ستريم Jet stream) لنصف الكرة الشمالي. تحرف أنماط الطقس المتبدلة فوق المحيط الهادي

(1) - الترابط عن بعد: مأخوذة من اليونانية، فالبادئة tele تعني (عن بعد at adistance) إي بمعناه العام، الترابط فوق مسافات عظيمة لحوادث طباقية غير عادية، دون أن يكون على ما يبدو بينها اتصال. تتماثل ظواهر الترابط هذه من خلال ظهور عمليات جغرافية طبيعية يترابط بعضها ببعض إحصائياً في الزمان والمكان. إن أغلبية الترابطات عن بعد التي تم وصفها هي (الشذوذات المناخية) المصاحبة لحادثة النينو

التيار العلوي والذي بدوره بوجه الجبهات الطقسية نحو أمريكا الشمالية، ومن ثمّ نحو بقية العالم. يتوغل الهواء المداري الحار شمالاً مسبباً حرارة عالية فوق المعدل في شمال أمريكا وأوروبا وشرق آسيا، وترتفع نتيجة لذلك درجة الهواء فوق اليابسة في نصف الكرة الشمالي. وعلى سبيل المثال ارتفعت درجة حرارة شباط لعام 1998 وبلغت قيمةً عليا كانت الأعظم في تاريخ السجلات. وكما هو معلوم تتسخن اليابسة بسرعة كما تتبرد بسرعة مقارنة بالمحيطات، لذا فإن درجة حرارة الهواء السطحي فوق اليابسة لا يمكن أن تكون مؤشراً على التغير الحراري على مستوى الكرة الأرضية، ومع ذلك، يوضح ذلك مدى قوة حادثة النينو. ارتفع متوسط درجة حرارة الهواء فوق اليابسة والماء خلال شهر شباط لسنة 1998 بحوالي 0.75° م فوق المعدل المحسوب للفترة 1961-1990 ويعد هذا المتوسط الأعلى في تاريخ السجلات منذ العام 1856، كما استمر التأثير في الأنماط الحرارية وأنماط الهطولات خلال النصف الأول من عام 1998 تأثيراً متزايداً مع حادثة النينو في القارات الخمس، هذه التأثيرات العالمية ليست جميعها مرتبطة بحادثة النينو لكنها ظهرت متزامنة معها (WMO-No.6,1998).

إن السنوات التي تظهر فيها حادثة النينو تحدث أنماطاً طقسية غير اعتيادية في جميع أنحاء العالم، فهي تسبب أمطاراً غزيرة تفوق المعدل فوق أجزاء من أوروبا والشرق الأوسط (Lichfield,1997)، كما تنتج تبدلات مهمة في حركة الجو العامة الشتوية فوق العروض المعتدلة (Das,1986)، مع شتاء بارد جداً فوق غرب كندا، وحرار فوق اليابان، وجاف فوق دول الاتحاد السوفيتي السابق (Glantez,1997). أشارت الموديلات التنبؤية أن تسخن مناخ العالم الملحوظ الآن يمكن أن يتفاعل مع حوادث النينو العرضية - في حال ظهورها- ويزيد الأنماط الطقسية الشاذة على مستوى العالم. إن حوادث النينو تضخم تباينية المناخ الاعتيادية، وتؤثر في تكرار التطرفات والشذوذات المناخية مثل الجفاف والهطولات الزائدة. لوحظ أن الخسائر

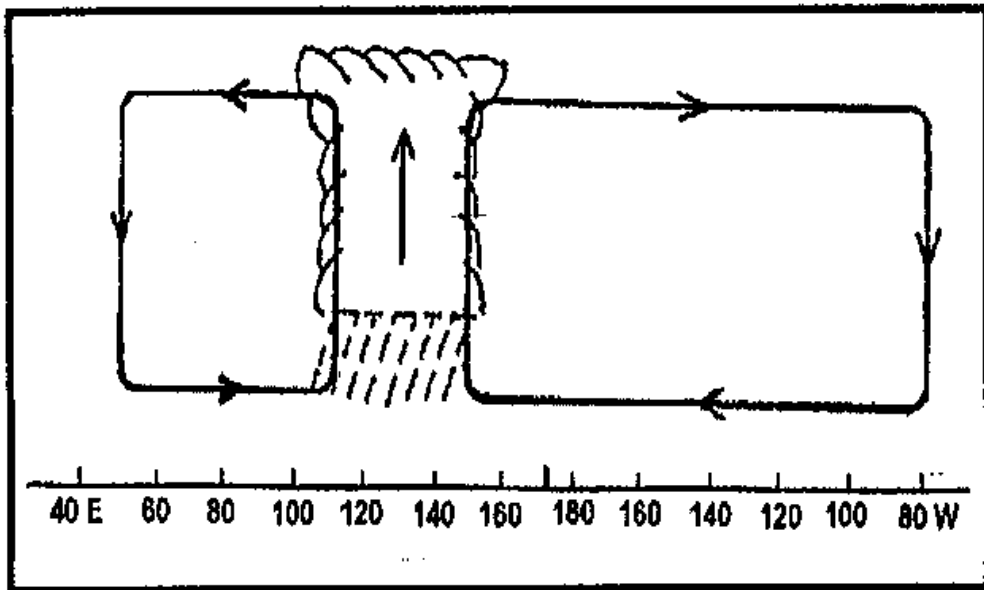
التي تسببها حالات الجفاف (المحل Drought) تتضاعف في سنوات النينو مقارنة بالمحل الذي يظهر في سنوات غير النينو. (Houghton et al, 2001; UNPE, 1996) WHO/WMO/ تعرضت عدة أقاليم من العالم إلى طقس شاذ في أثناء حادثتي النينو 1982/1983 و 1997/1998 خصوصاً فيما يتعلق بشذوذات الحرارة والأمطار. وقد اعتبر أن تأثير التسخين غير الاعتيادي للنينو كان العامل الرئيس المسبب لارتفاع درجة حرارة العالم سنة 1997 لقد عزى سبب معظم هذه الشذوذات إلى حادثة النينو. إن ظهور هذه الشذوذات متزامنة مع حادثة النينو يعد سبباً غير كاف كي نعد هذه الظاهرة هي المسؤولة عن ذلك، فعلى سبيل المثال: عُدت حادثة النينو 1983/1982 هي المسؤولة عن الطقس غير الاعتيادي الذي ساد في الولايات الأمريكية الشرقية في أثناء شتاء 1983/1984، بينما كان الطقس المسيطر في شتاء 1977/1978 فوق الولايات نفسها، والذي تلا حادثة نينو 1976/1977 من الشتاءات الباردة جداً، لذا من غير المنطقي، ولا من العلمية في شيء أن نربط هذه الانحرافات البيئية التي تظهر في أثناء حادثة النينو في هذه الحادثة دون أن يكون لدينا مزيد من البراهين والدلائل لدعم هذا الربط (Hidore and Oliver ,1993).

جدول (١) بين قيم الفينة الجيوبية (SOI) للشهيرة بين دولتين وتاثيرها للفترة (١٩٥٥-٢٠٠٢)

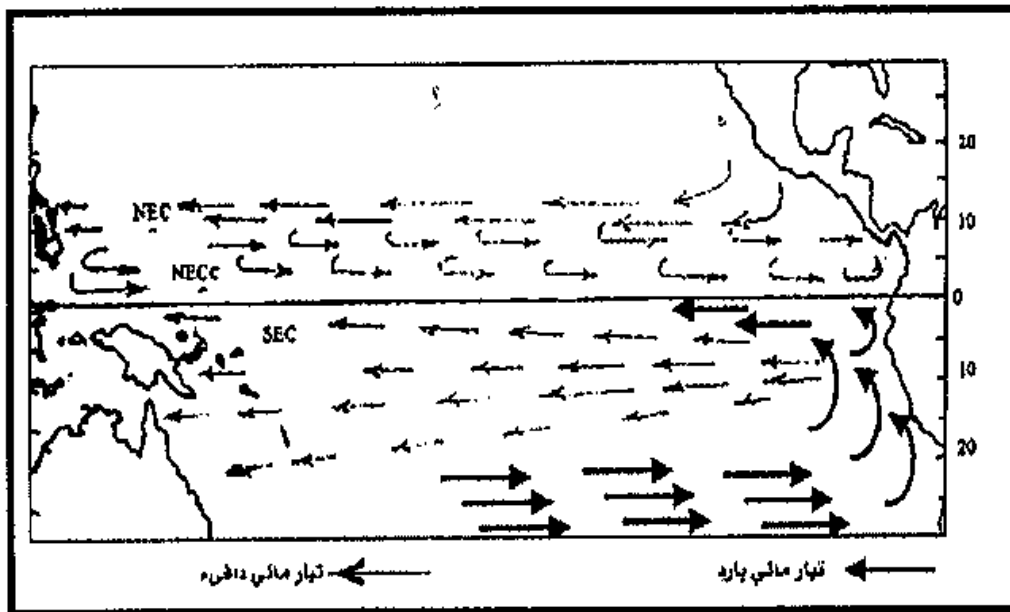
Year	Jan.	Feb.	March	Apr.	May	Jun.	July	Aug.	Sep.	Oct.	Nov.	Dec.
1955	-6.4	15.2	2.9	-3.0	13.1	16.4	19.2	14.9	14.1	16.2	15.1	9.3
1956	11.3	12.4	9.4	11.1	17.9	12.3	12.6	11.0	0.2	18.3	1.9	10.3
1957	5.6	-2.2	-0.9	1.2	-12.2	-2.3	0.9	-9.5	-10.6	-1.3	-11.9	-3.5
1958	-16.8	-6.9	-1.4	1.2	-8.2	0.2	2.2	7.8	-3.4	-1.9	-4.7	-6.5
1959	-8.7	-14.0	8.4	3.6	2.8	-6.3	-5.0	-5.0	0.2	4.2	11.1	8.2
1960	0.3	-2.2	5.6	7.8	5.2	-2.3	4.8	6.6	6.9	-0.7	7.2	6.7
1961	-2.5	6.3	-20.9	9.4	1.3	-3.1	2.2	0.1	0.8	-0.5	7.2	13.8
1962	17.0	5.3	-1.4	1.2	12.3	5.0	-0.4	4.6	5.1	10.3	5.2	0.6
1963	9.4	3.0	7.3	6.1	2.8	-9.6	-1.0	-2.4	-5.2	-12.9	-9.3	-11.6
1964	-4.0	-0.3	8.4	13.5	2.8	7.4	6.8	14.3	14.1	12.8	2.6	-0.3
1965	-4.0	1.8	2.9	-12.9	-0.3	-12.8	-22.6	-11.4	-14.2	-11.1	-17.9	1.6
1966	-12.0	-4.1	-13.9	-7.1	-9.0	1.0	-1.0	4.0	-2.2	-2.5	-0.1	-4.0
1967	14.6	12.9	7.8	-3.0	-3.5	6.6	1.6	5.9	8.1	-0.1	-4.0	-5.5
1968	4.1	9.6	-3.0	-3.0	14.7	12.3	7.4	0.1	-2.8	-1.9	-3.4	2.1
1969	-13.5	-6.9	1.8	-8.8	-8.6	-0.6	-8.9	-4.4	-10.6	-11.7	-0.1	3.7
1970	-10.1	-10.7	1.8	-4.6	2.1	9.9	-5.6	4.0	12.9	10.3	19.7	17.4
1971	2.7	15.7	19.2	22.6	9.2	2.6	1.6	14.9	16.9	17.7	7.2	2.1
1972	3.7	8.2	2.4	-5.5	-16.1	-12	-18.6	-8.9	-14.8	-11.1	-3.4	-12.1
1973	-3.0	-13.5	0.8	-2.1	2.8	12.3	6.1	12.3	13.5	9.7	31.6	16.9
1974	20.8	16.2	20.3	11.1	10.7	2.6	12.0	6.6	12.3	8.5	-1.4	-0.9
1975	-4.9	6.3	11.6	14.4	6.0	15.5	21.1	20.7	22.5	17.7	13.8	19.5
1976	11.8	12.9	13.2	1.2	2.1	0.2	-12.8	-12.1	-13.0	3.0	9.8	-3.0
1977	-4.0	7.7	-9.5	-9.8	-11.4	-17.7	-14.7	-12.1	-8.4	-12.9	-14.6	10.6
1978	-3.0	-24.4	-5.8	-7.9	16.3	5.8	6.1	1.4	0.8	-6.2	-2.0	-0.9

بتبع جدول رقم (1)

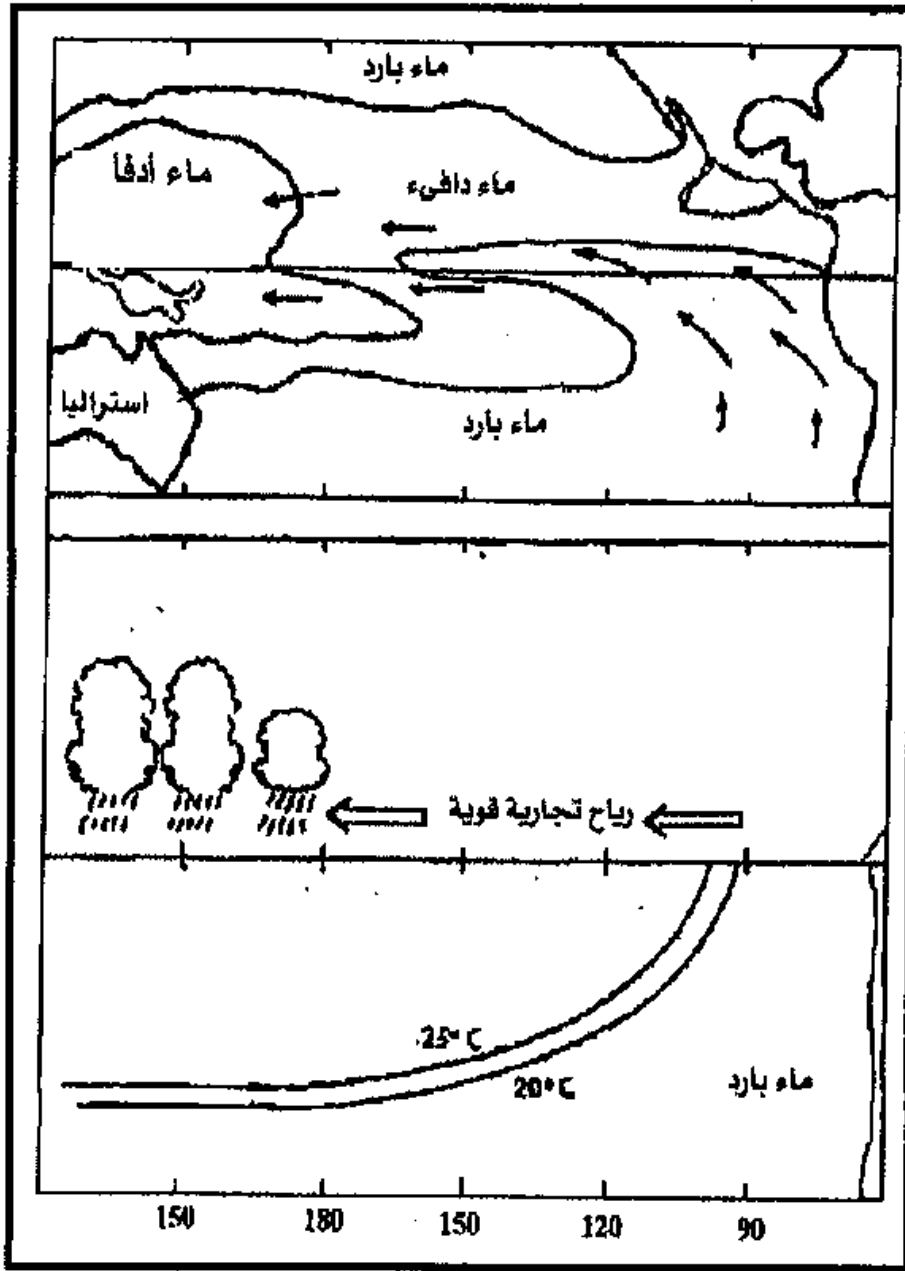
Year	Jan.	Feb.	March	Apr.	May	Jun.	July	Aug.	Sep.	Oct.	Nov.	Dec.
1979	-4.0	6.7	-3.0	-6.5	3.6	5.8	-8.2	-5.0	1.4	-2.5	-4.7	-7.5
1980	3.2	1.1	-8.5	-12.9	-3.5	-4.7	-1.7	1.4	-5.2	-1.9	-3.4	-0.9
1981	2.7	-3.2	-16.6	-5.5	7.6	11.5	9.4	5.9	7.5	-5.0	2.6	4.7
1982	9.4	0.6	2.4	-3.8	-8.2	-20.1	-19.3	-23.6	-21.4	-20.2	-31.1	-21.3
1983	-30.6	-33.3	-28	-17.0	6.0	-3.1	-7.6	0.1	9.9	4.2	-0.7	0.1
1984	1.3	5.8	-5.8	2.0	-0.3	-8.7	2.2	2.7	2.0	-5.0	3.9	-1.4
1985	-3.5	6.7	-2.0	14.4	2.8	-9.6	-2.3	8.5	0.2	-5.6	-1.4	2.1
1986	8.0	-10.7	0.8	1.2	-6.6	10.7	2.2	-7.6	-5.2	6.1	-13.9	-13.6
1987	-6.3	-12.6	-16.6	-24.4	-21.6	-20.1	-18.6	-14.0	-11.2	-5.6	-1.4	-4.5
1988	-1.1	-6.0	2.4	-1.3	10.0	-3.9	11.3	14.9	20.1	14.6	21.0	10.8
1989	13.2	9.1	6.7	21.0	14.7	7.4	9.4	-6.3	6.7	7.3	-2.0	-5.0
1990	-1.1	-17.3	-8.5	-0.5	13.1	1.0	6.5	-5.0	-7.6	1.8	-6.3	-2.4
1991	6.1	0.6	-10.8	-12.9	-19.3	-6.5	-1.7	-7.6	-16.6	-12.9	-7.3	-18.7
1992	-25.4	-9.3	-24.2	-18.7	0.5	-12.8	-6.9	1.4	0.8	-17.2	-7.3	-5.5
1993	-8.2	-7.9	-8.5	-21.1	-8.2	-16	-10.8	-14	-7.6	-13.5	0.6	1.6
1994	-1.6	0.6	-10.6	-22.8	-13.0	-10.4	-18.0	-17.2	-17.6	-14.1	-7.3	-11.6
1995	-4.0	-2.7	3.5	-16.2	-9.0	-1.5	4.2	0.8	3.2	-1.3	1.3	-5.5
1996	8.4	1.1	6.2	7.8	1.3	13.9	6.8	4.6	6.9	4.2	-0.1	7.2
1997	4.1	13.3	-8.5	-16.2	-22.4	-24.1	-9.5	-19.8	-14.8	-17.8	-15.2	-9.1
1998	-23.5	-19.2	-28.5	-24.4	0.5	9.9	14.6	9.8	11.1	10.9	12.5	13.3
1999	15.6	8.6	8.9	18.5	1.3	1.0	4.8	2.1	-0.4	9.1	13.1	12.8
2000	6.1	12.9	9.4	16.8	3.6	-5.5	-3.7	5.3	9.9	9.7	22.4	7.7
2001	8.9	11.9	6.7	0.3	-9.0	1.8	-3.0	-8.9	1.4	-1.9	7.2	-9.1
2002	2.7	7.7	-5.2	-3.8	-14.5	-6.3	-7.6	-14.6				



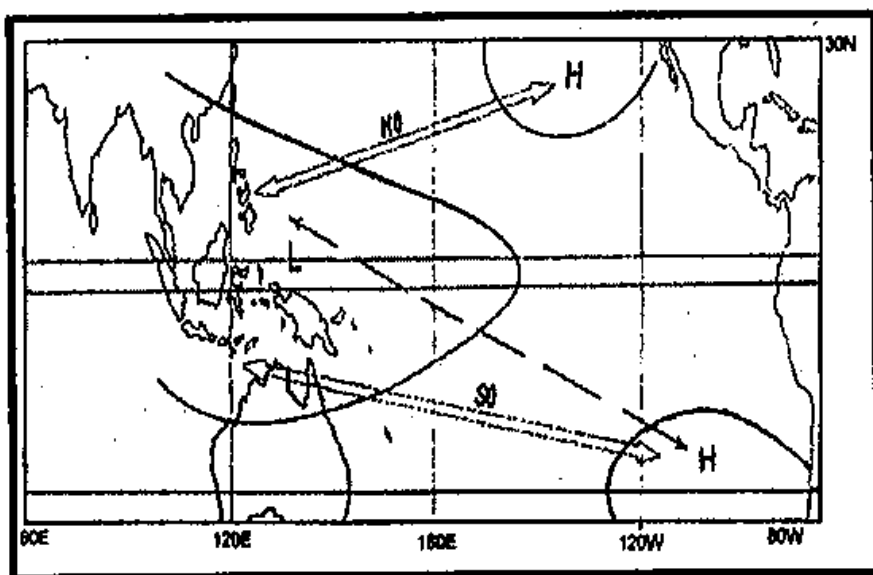
شكل (1) مخطط توضيحي يمثل دورة ولكر الحرارية بين شرق المحيط الهادي الاستوائي وغربه



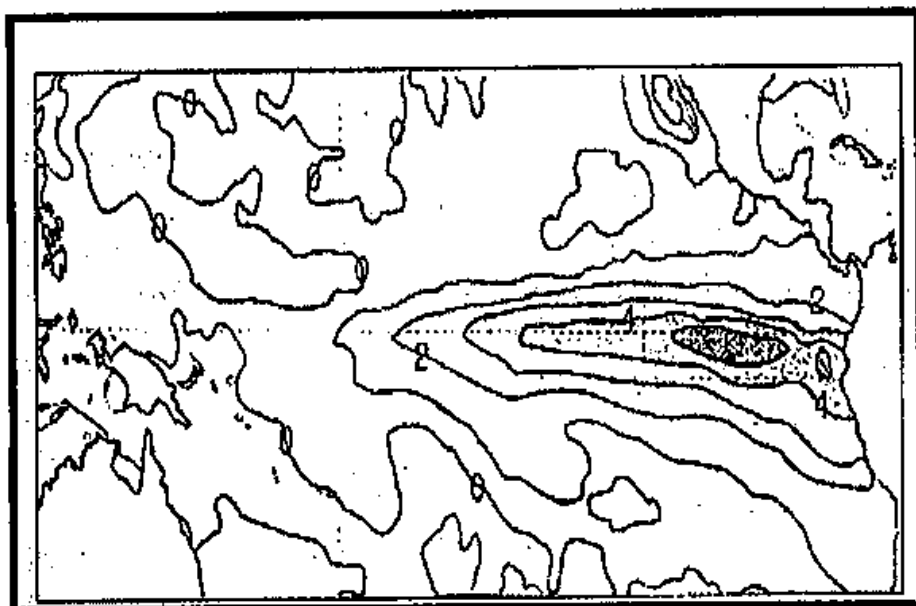
شكل (2) التيارات المائية الدافئة والباردة في المحيط الهادي المداري



شكل (3) طبقة الانحدار الحراري ودرجة حرارة المياه السطحية واتجاهات الرياح في الأحوال العادية وفي أثناء حادثة اللانينا فوق المحيط الهادي

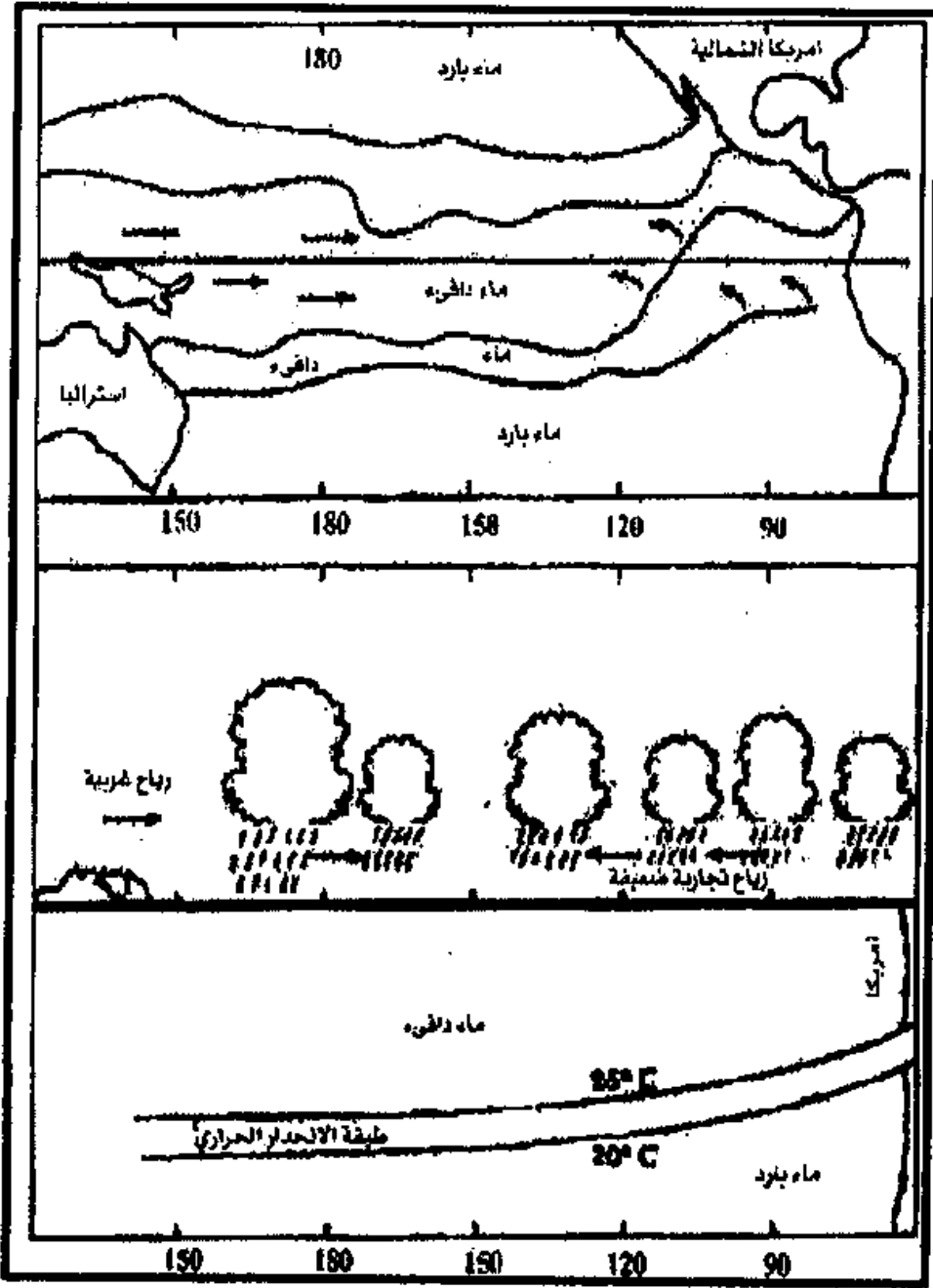


شكل (4) تارجح قيم الضغط الجوي (الذبذبة الجنوبية) بين داروين وتاهيتي

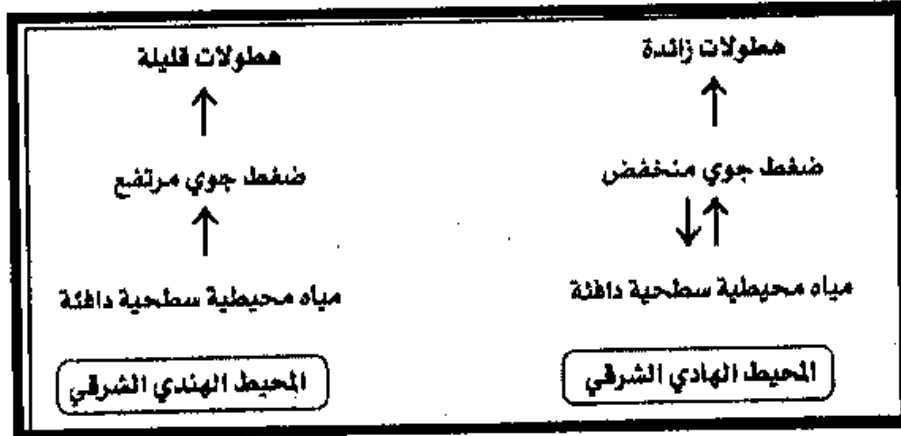


شكل (5) شذوذات درجة المياه السطحية فوق المعدل بالدرجة

المنوية لشهر ك2 1998 في شرق المحيط الهادي المداري



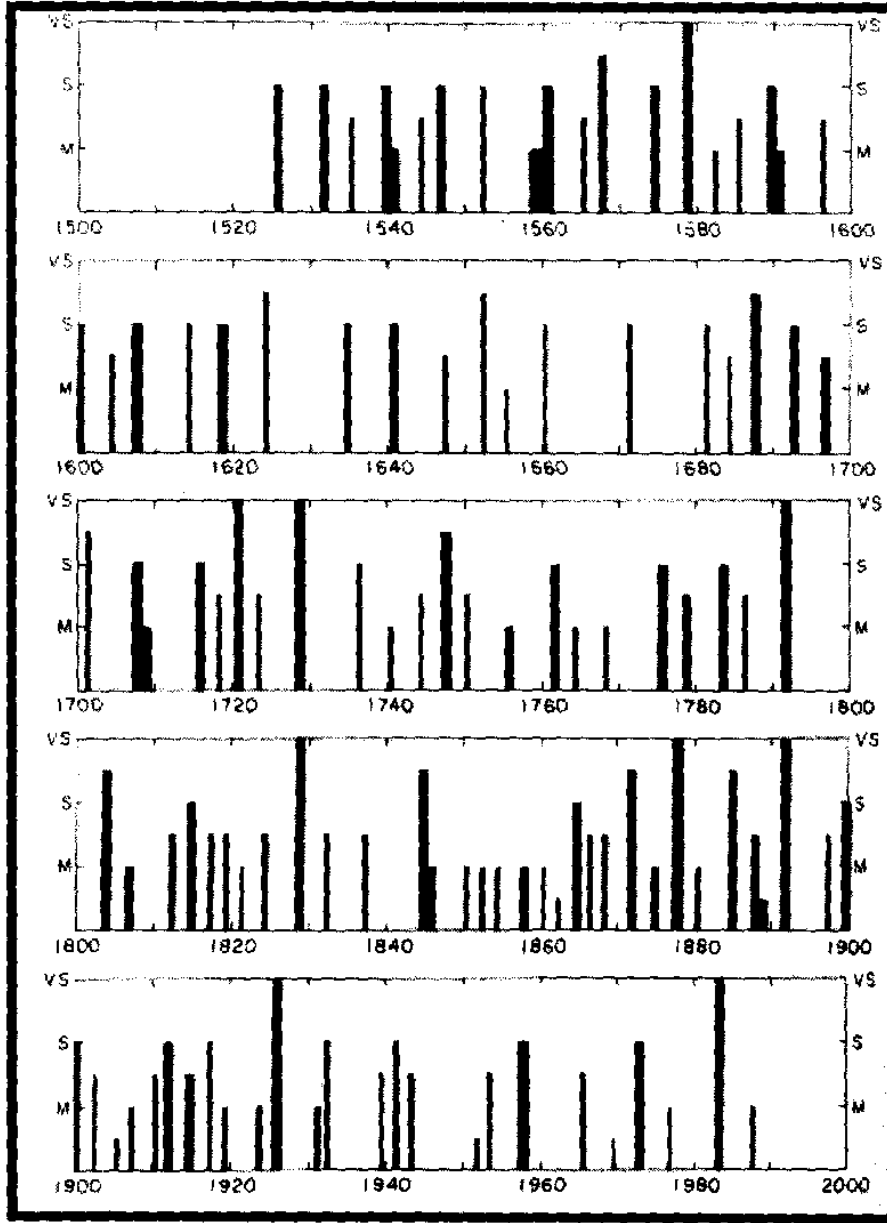
شكل (6) تبدل عمق طبقة الانحدار الحراري واتجاه الرياح السائدة وبركة المياه الدافئة قبالة السواحل الغربية لأمريكا الجنوبية المدارية في أثناء حادثة النينو 1982/1983.



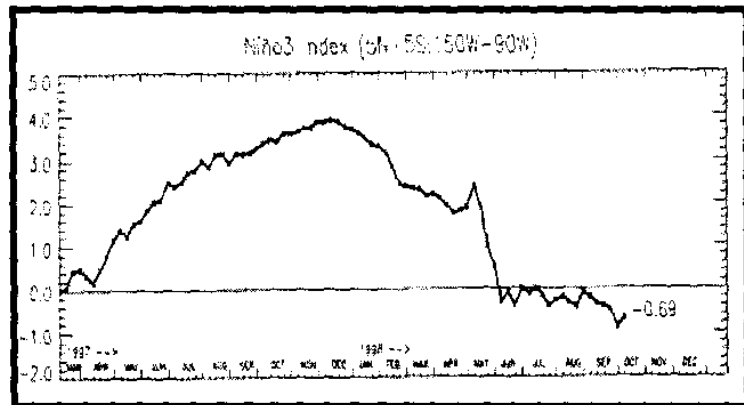
شكل رقم (7) العلاقة بين قيم الضغط الجوي السطحي والحرارة والمطر فوق

المحيط الهندي - الهادي المداري في أثناء حادثة الأينسو كما تصورها

Fu,1989



شكل رقم (8) تمثيل حوادث النينو من 1525 حتى 1987 وشداتها المختلفة
(VS: شديدة جداً ، V: شديدة ، M: معتدلة)



شكل (9) تمثيل بياني لدرجة حرارة المياه السطحية في إقليم نينو (3)
(5 N -5S: 150 W -90 W)

References

- Berlage, H.P., 1966: The Southern oscillation and world weather. K. Ned.Meteo. In.88.
- Bjerknes,J., 1969: Atmospheric teleconnections from the equatorial Pacific.Mon. Wea. Rev. 97,163-172.
- Chen , Lic-ting,1989: The structure and time evolution of low – frequency oscillation in the tropical north Pacific – observational study. Seminar on tropical meteorology ,ERICE.26 Sep.-4 Oct. 1986
WMO/TD-No.277,Geneva, (1989),322-345.
- Critchfield,H.J,1983: General climatology.Fourth Ed. 1993
Reprinted in Endia ,Jay Print Pack Pri.Lim. New Delhi.
- Das,P.K,1986: Monsoons.WMO-No.613.
- Dilley, M.,and Heyman,B.N.,1995: ENSO and disaster: Droughts floods and El Nino/Southern Oscillation warm events.Disasters , 19.3;:181-193.
- Fu.C., 1989: The tropical low –frequency oscillation on inter annual scale. Seminar on tropical meteorology. ERICE,26 Sep.-4Oct. 1986.WMO/TD-No.277 Geneva, 1989.
- Gambo,K. and Kudo,K., 1983: Three –dimensional teleconnections in the zonally asymmetric height field during the northern hemisphere winter. J,Meteo.Soc. Japan, 61 , 36-50.
- Glantz, M., 1997: El Nino comes.Or does it?. IDNDR Internet Conference, 9 Oct. 1997.
- Glanzer, H.P., 1997: Enviroment and sustainable development:

- International Decade For Natural Disaster Reduction. UN. General Assembly, 2 Dec. 1997.
- Hidore, J.J., and Oliver, J.E., 1993: Climatology: An atmospheric science. Macmillan pub. Com. USA.
 - Horel, J.D., and Wallace, J.M., 1981: Planetary – scal atmospheric phenomena associated with the Southern Oscillation. Mon. Wea. Rev., 109. 813-829.
 - Houghton, J.T. et al., 2001: Climate change 2001. The scientific Basis. WMO/ UNEP. pub. for IPCC, Cambridge Univer. Press.
 - Julian, P.R. and Chevrin, R.M., 1978: A study of Southern Oscillation and Walker Circulation phenomenon. Jour. Atmos. Sci. 106, 1433-1451.
 - Latif, M., and Neelin, J.O., 1994: El Nino/ Southern Oscillation. Hamburg, Max – Planck-Ins. Report No. 129.
 - Lichfield, G., 1997: El Nino: An act of God: IDNDR Internet Conference, 9 October, 1997.
 - Namis, J., 1981: The new scripps atlas of 700 mb height teleconnection some novel findins. New Yourk, October, 14-16, 95-104.
 - Philander, S.G.H., 1983: El Nino Southern Oscillation phenomena. Proceedings of the WMO-CAS /JDS Expert Study Meeting on Long – Rang Forecasting. 1-4 Dec. 1982, 72-83.
 - Quinn, W.H. and Neal, V.T., 1995: The historical record of El Nino events. Climate since A.D. 1500 Rev. Edition, Routledge, London and New York, 32: 623-679.

- Rasmussen ,S.M. and Carpenter , T.H., 1982: Variation in tropical sea-surface temperature and surface wind fields associated with the Southern Oscillation , El Nino. Mon. Wea. Rev., 110,5,354-384.
- Rasmusson , E.M., and Wallace , J.M.,1983:Meteorological aspects of the El Nino / Southern Oscillation.Science , 222.
- Stringer, E.T., 1989: Foundations of climatology.Surjeet Pub. India ,New Delhi.
- Tarakanov,G.G.,1982: Tropical meteorology. Translated from Russian by Michael G.Edeleve. Mirpub. Moscow.
- Trenberth , K.E., 1976: Spatial and temporal variation in Southern Oscillation.Quart.Jour. Roy. Meteo.Soc. 102,639-653.
- Van Loon ,H.,and Roger ,J.C.,1978: The seesaw in winter temperature between Greenland and Northern Europe. Part 1: General description .Mon Wea Rev.,106,296-310.
- Walker, G.T., and Bliss, E.W., 1930: World weather , V.Mem.Roy. Met.Soc.III, London, 24,81-95.
- Walker,G.T., and Bliss,E.W.,1932: World weather , V.Mem.Roy. Met.Soc.IV, London 36, 53 -84.
- Walker,G.T., and Bliss,E.W.,1937 : World weather. VI.Mem Roy.Met.Soc.IV ,London,39,119-138.
- Wallen ,R.N., 1992: Introduction to physical geography .W.M.C.Brown Pub. USA.
- Watson ,R.T.,et al.2001: Climate change 2001.Synthesis

- Report.WMO/UNEP.Pub.for IPCC,Cambridge Univer.Press
- WHO/WMO/UNEP.,1996: Climate change and Human helth.WHO .Geneva.
 - WMO, 1998: The 1997/1998 El Nino.World Climate News ,No.13
June pp.5-12.
 - WMO,2000: UNEIP Projection El Nino.World Climate News , No.17
June pp.14.
 - WMO,2001:: Lessons from the 1997/1998 El Nino. World Climate News , No. 18 January.pp.13.
 - WMO,2002 _a: El Nino up date.World Climate News.No.20,
January.pp.5.
 - WMO,2002 _b: El Nino outlook.World Climate News.No. 21.June.
pp.10.
 - WMO,1997: El Nino up date. No.2,December.
 - WMO,1998 _a: El Nino up date. No.3, January.
 - WMO,1998 _b: El Nino up date. No.4, February.
 - WMO,1998 _c: El Nino up date. No.5,March.
 - WMO.1998 _d: El Nino up date. No.6 ,June.
 - WMO,1998: e El Nino/ La Nina up date. No. 7,November.
 - WMO,1999: El Nino/La Nina up date. No. 8, February.
 - WMO,2001: El Nino up date. 28 August , 2001(By intrnet).
 - WMO,2002: El Nino up date ,25 June, 2002 (By internet).
 - Wyrniki,K., 1975: The dynamic response of the equatorial Pacific ocean to atmospheric forcing.J.Phy.No.5,572-584.

تاريخ ورود البحث إلى مجلة جامعة دمشق 2003/2/26.